

毛主席语录

千万不要忘记阶级斗争。

工人阶级必须领导一切。

坚持政治挂帅，加强党的领导，大搞群众运动，实行两参一改三结合，大搞技术革命。

我们不能走世界各国技术发展的老路，跟在别人后面一步一步地爬行。我们必须打破常规，尽量采用先进技术，在一个不太长的历史时期内，把我国建设成为一个社会主义的现代化的强国。

我们的方针要放在什么基点上？放在自己力量的基点上，叫做自力更生。

中国人民有志气，有能力，一定要在不远的将来，赶上和超过世界先进水平。

抓革命，促生产，促工作，促战备。

目 录

1. 煤矿卷扬机硅可控整流器低频变频装置	1
2. 硅可控整流元件串-并联试验	53
3. 硅可控整流元件正弦波移相触发线路	75
4. 硅可控整流元件高频方波触发线路	86
5. 硅可控交流电动机串级调速装置	94
6. 吊车用硅可控整流器的传动系统	104
7. 硅可控整流器触发装置中的脉冲变压器	107
8. 译文——大功率硅可控整流器设计和应用方面的进展	125

毛主席语录

工人阶级必须领导一切。

煤矿卷扬机硅可控整流器低频变频装置

卷扬机是煤矿生产的咽喉。提高卷扬机的提升能力，保证其安全运行，实现卷扬机的自动化，对于减轻工人同志们的劳动强度，提高劳动生产率有很大意义。

目前，我国煤矿卷扬机的电气控制大都采用交流拖动系统。在提升过程中卷扬机要根据规定的速度图运行。在交流拖动系统中，要实现提升自动化的关键，是需要一个理想的减速过程及具有稳定的低速爬行的阶段，以适应箕斗进入曲轨进行卸煤。为此，我们根据变频调速原理，采用了硅可控整流器低频变频装置，供给电动机一固定的低频电源，便获得了稳定低速爬行，经过现场初步实验，基本成功，本装置还可连续低速运行，供检修罐道，检查及更换钢丝绳用。

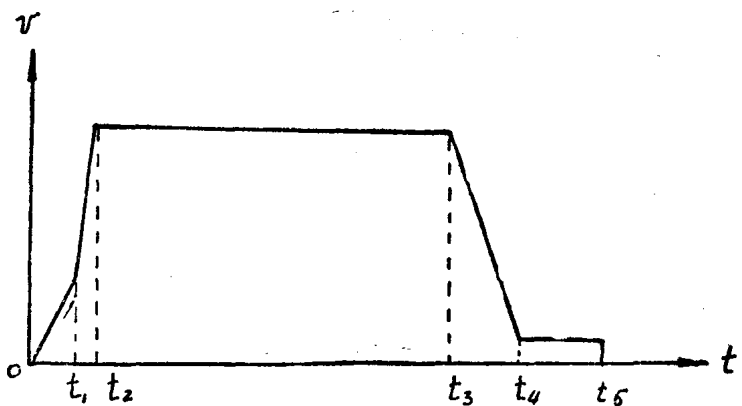


图1 卷扬机运行速度图

在无产阶级文化大革命中，广大工人同志们为了响应毛主席“抓革命，促生产。”的伟大号召，积极行动起来，为实现卷扬机自动化而奋斗。为此在红旗矿的工人老师傅领导下由渭北煤矿红旗矿、西安煤矿设计院和整流器研究所组成的三结合试验小组，进行了低频变频器试验。试验中克服了重重困难，终于胜利地完成了任务。并在现场经过实际提升的考验，基本满足了生产的需要。

主回路

一、变频器的组成

本变频装置为具有直流环节的变频器。它由整流器和逆变器两部份组成。50赫380V电压经变压器升压后，由整流器整流为直流电压，再由逆变器将直流电压变换为所需频率的

交流电压后，送到卷扬机电机。

(一) 整流器：

由于爬行阶段要求一定的速度，因此在保证电机恒转矩的情况下，变频器的输出为一固定频率的固定电压。这样，整流器输出电压不需要进行调节。为了简化线路，整流器由三相不控桥组成。

(二) 逆变器：

逆变器的工作，就是通过它内部的管子，在某一频率下，按照一定的顺序进行通断，将直流电压变为交流电压。

直流电源按照硅可控元件的导通方向接入逆变器，因此在有控制信号加到 SCR 上时，它就会导通。但是 SCR 的关断，不能用控制信号来控制，必须从主回路来解决。要使 SCR 关断有以下几种方法：

1. 强制使 SCR 的电流降低到小于它的维持电流，在极端的情况下，就是将 SCR 的阳极回路开断；

2. 在 SCR 上加反向电压，使它强制关断。

逆变器中 SCR 的关断就是采用第二种方法来实现的。

为了保证逆变器可靠的工作，必须保证由导通进入关断的管子能够可靠的关断。这就要求线路能够保证在各种工作电流与电压下，能够给由导通进入关断的管子提供足够的加反压的时间。在各种不同情况下，管子的关断时间不相同。影响管子关断时间的因素有：

① 管子的结温 T_j ；

② 管子在关断前的最大正向电流 I_F 及加反压后的电流下降率 $\frac{di_F}{dt}$ ；

③ 所加反向电压 V_R ；

④ 管子关断后，重加正向电压 V_F 。

为了保证管子可靠关断，使逆变器正常工作，应：

① 为了保证管子不超过额定结温升，选用管子时，电流要留有余量；

② 在大电流 (I_F) 时，管子关断困难，因此要选用合适的换向电容；

③ 为了保证管子有足够的关断时间，线路应提供足够的反向电压；

④ 重加正向电压为直流电压 E 。

二、三相桥式逆变器方案

(一) 三相桥式逆变器方案：

一般有两种方案：

1. 串联二极管式三相逆变器；

2. 串联电感式三相逆变器。

以上两种线路都是改进式逆变器，我们都进行过实验，最后选用了串联电感式三相逆变器。原因是串联二极管逆变器中，每个桥臂上的管子都要承受 1.5 倍直流电源电压 (1.5 E) 的反电压。而串联电感式逆变器中每臂上的管子只承受为 E 的反电压。本变频器的输出线电压大于 700 伏，则直流电压约为 1100 伏。如选用串联二极管式逆变器，每个桥臂要串联五只管子 (每个管子的转折电压约为 700 伏)。而用串联电感式逆变器，每个桥臂只要串联

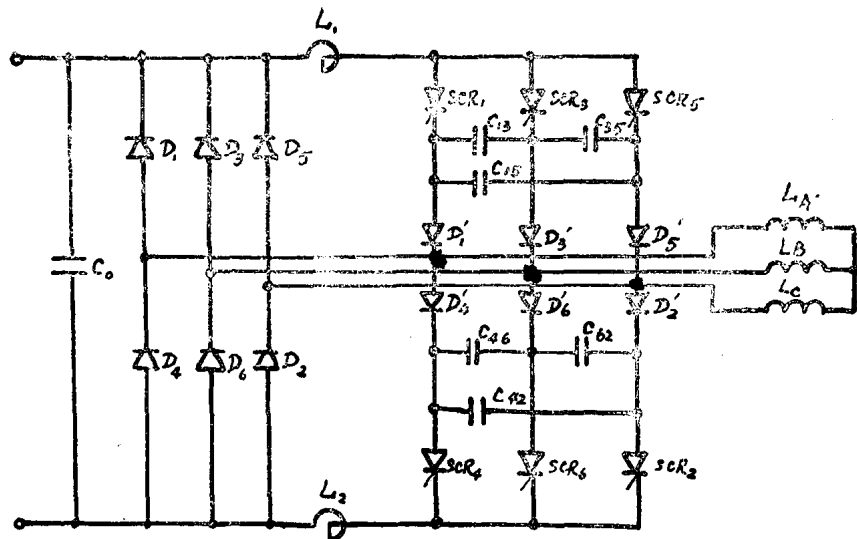


图2 串联二极管式三相逆变器

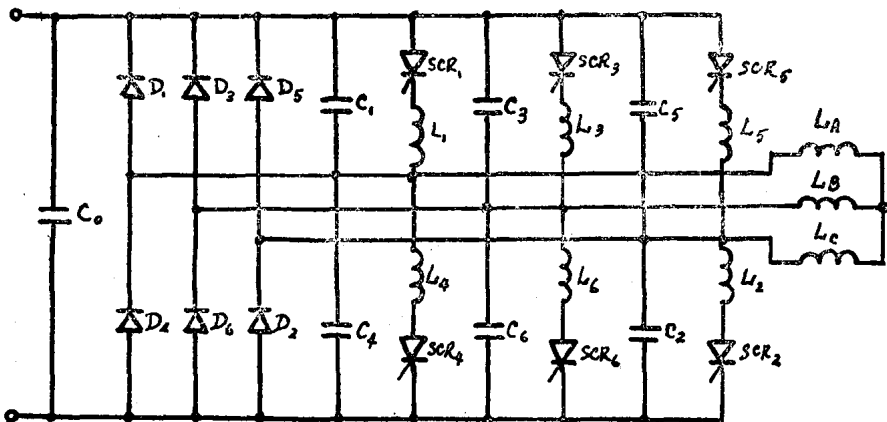


图3 串联电感式三相逆变器

三只管子。另外串联电感式逆变器中每个管子导通 180° ，而串联二极管式逆变器中每个管子只导通 120° ，因此，同样元件在串联电感式逆变器中，可以通过的平均电流大。总的效果是，同样元件在串联电感式逆变器中，允许的功率大。

(二) 升压变压器位置的确定：

因为我们的卷扬机是用高压电机拖动的。在最大速度时是 50 赫 6000 V。在低频时输出电压仍比较高(大于 700 伏)。为了减少每个桥臂上串联管子的数目，起初我们的逆变器输出低电压，再用低频变压器升压后，给电机供电。根据一般变压器的设计方法，我们改装了矿用 180 KVA 变压器。经过实验后发现，在低频下的变压器的压降非常大。

经过实际测量后得知，此高压变压器在 50 赫时在额定电流下，短路压降为 5.4%。而低压低频(5 赫)时，短路压降已为 30~40%。这是因为改装变压器的铁芯过小，而且匝数过多，在低频时，变压器的漏抗已远远小于它的铜阻。

这样，我们取消了低频变压器。而用 50 赫变压器将 380 V 电压升高，经整流器整流后，给逆变器供直流电压。这样逆变器便工作在较高电压下(1100 V)。

三、串联电感式三相逆变器

(一) 工作原理:

串联电感式三相逆变器中，每一个管子导通 180° 后，关断 180° 。每一相的两个桥臂上的管子互相进行换向。在每一瞬间，都有三个桥臂导通：或上面两个桥臂与下面一个桥臂导通；或上面一个桥臂与下面两个桥臂导通。现在讨论一相中两个桥臂是如何换向的。

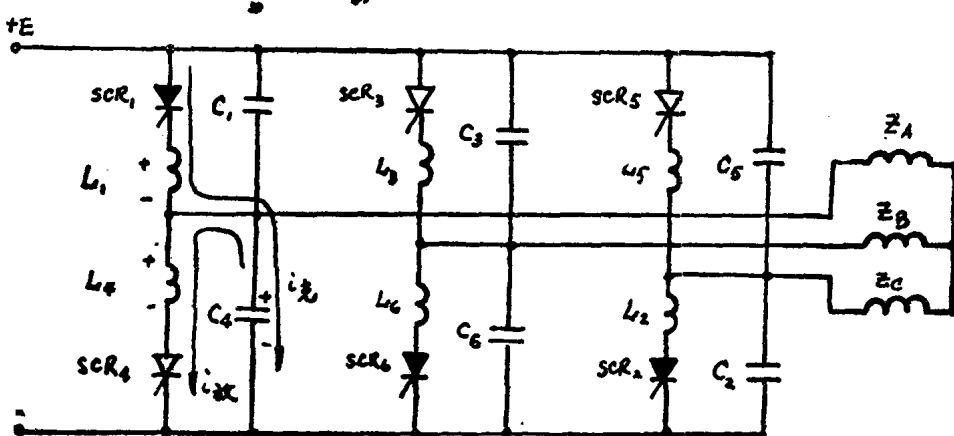


图 4 串联电感式三相逆变器工作原理

以第一与第四桥臂为例，设开始时 SCR_1 导通，此时，直流电源 E 通过 SCR_1 向 C_4 充电，由于导通的 SCR_1 的正向压降与 E 相比是很小的，所以最后可近似认为 C_4 充电到 E 。此时 C_4 上极的电位为正，下极为负。经过 180° 后，控制信号加到 SCR_4 的控制极上，使 SCR_4 导通。于是 C_4 上的电荷很快通过 L_4 与 SCR_4 放电。由于 SCR_4 在导通时的正向压降很小，所以 C_4 上原有电压全部转移到 L_4 上。设 L_1 与 L_4 的耦合系数为 1，这样，在 L_1 上以同样的方向感应出一电压 E 。则 SCR_1 的阴极对直流电源负端的电位为 $+2E$ ，而它的阳极为 $+E$ 。于是 SCR_1 便加上反电压 $-E$ 。如 SCR_1 加反电压的时间大于它的关断时间，即可使 SCR_1 强制关断。与 C_4 放电同时， C_1 又通过导通的 SCR_4 充电至 E 。在下一周期，由于 SCR_1 控制极加了控制信号，使 SCR_1 导通。 C_1 又通过 SCR_1 放电，使 SCR_4 加反电压 $-E$ ，于是 SCR_4 便关断。这样便保证了 SCR_1 与 SCR_4 互相换向。其它各相的换向原理与此相同，不过它们的换向时间互相落后 120° 。于是在负载上便形成了三相交流电压。

(二) 负载情况：

管子的导通情况如图 5。

根据管子导通情况的变化可以得出 A 、 B 、 C 三相的输出电压。

1. 纯阻负载：

① 星形接法

将 U_{AO} , U_{BO} , U_{CO} 见图 6 相减，可得出 U_{AB} , U_{BC} , U_{CA} 见图 7。

在任何瞬间，总是两相负载并联，再与第三相串联后接于直流电源。等效电路图见图 8。

因此，在如图 8 的情况时， C 相电压为 $\frac{2}{3}E$ ， A 、 B 相电压均为 $\frac{E}{3}$ 。

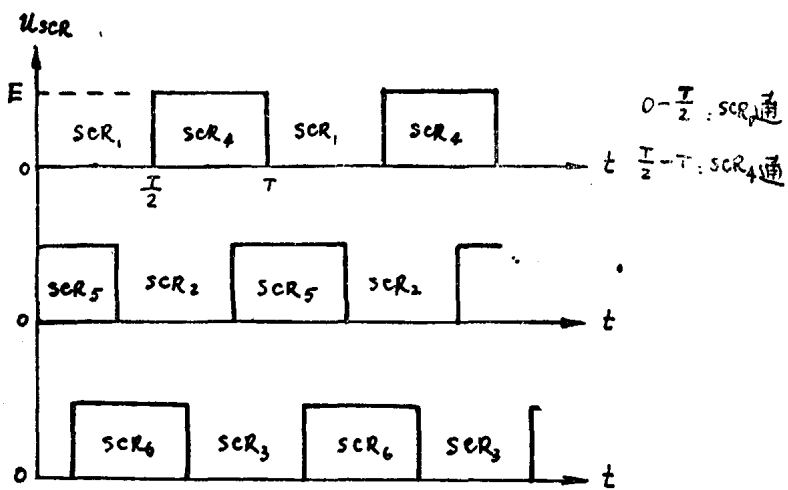


图 5 SCR 导通情况

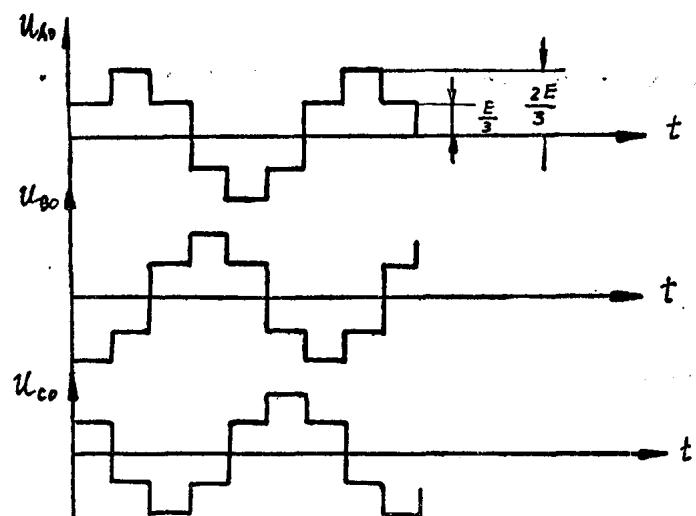


图 6 电阻负载星形接法时的电压

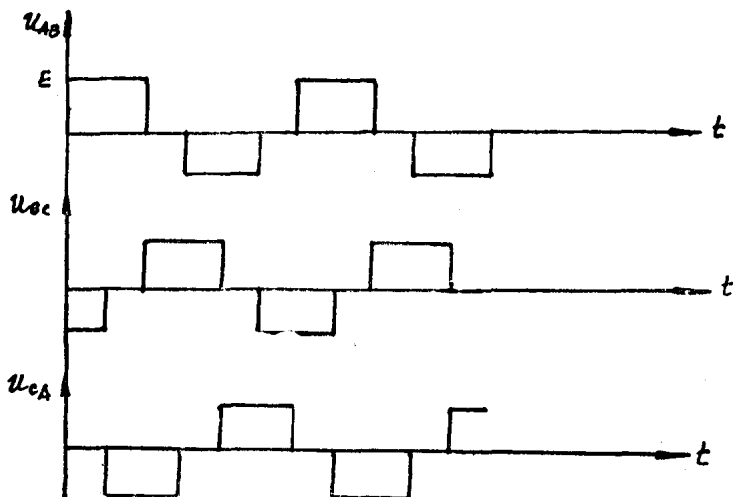


图 7 电阻负载星形接法时的线电压

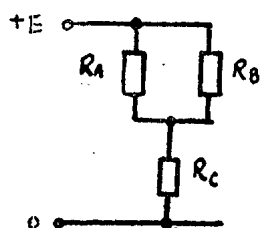


图 8 星形接法时等效电路

② 三角形接法

在任何瞬间总有一相负载被两个导通的管子短接，则此相负载电压为 0。而另两相负载互相并联，接于直流电源，则这两相电压均为 E 。等效电路图见图 9。

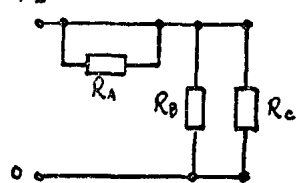


图 9 三角形接法时等效电路

电阻负载时电流与电压的波形及相位均一致。

2. 感性负载：

此时电流会滞后于电压。

参看图 3，设开始时是 SCR_6, SCR_1, SCR_2 导通。此时负载电流的方向如图 3 所示。当有控制信号加到 SCR_3 上时， SCR_3 要导通， SCR_6 要关断。但因还有滞后电流，因此 SCR_3 导通一下后即关断。为了保持原来的电流方向，反馈二极管 D_3 便导通。当滞后角小于 60° 时，只有一个反馈二极管动作。此时储存在感性负载中的能量不会反馈到电源去，而是消耗在环流中。但当滞后角大于 60° 时，在控制信号加到 SCR_4 上时， SCR_4 导通一下即关断，此时 D_4 亦动作。这时储存在感性负载中的能量，通过两个反馈二极管向直流电源的滤波电容充电，而使直流电压升高（参看附录 1）。总之，一相的反向滞后电流成为其它相的正向电流，一相的无功，向其它相提供有功。

（三）电流关系：

就纯阻负载按星形接法时来分析直流电源的电流，管子的电流及负载相电流间的关系。

1. 直流电源电流（图 10）。

2. 管子电流：

每个管子导通 180° ，其中 60° 范围内管子电流为直流电源电流 I_+ ，而其余 120° 范围内直流电源电流通过两个并联的管子，因此每个管子电流为 $\frac{I_+}{2}$ 。

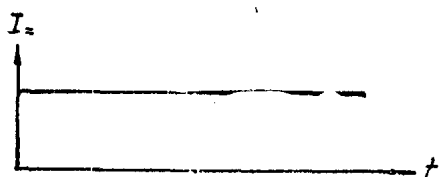


图 10 直流电源电流

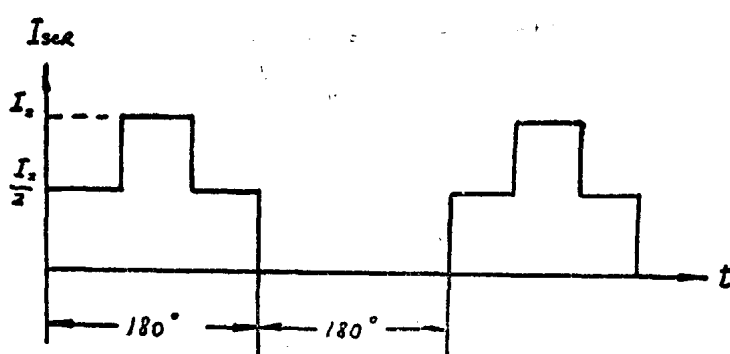


图 11 管子电流

管子的平均电流：

$$I_{\text{avg}} = \frac{2 \cdot \frac{I_+}{2} \cdot \frac{T}{6} + I_+ \cdot \frac{T}{6}}{T} = \frac{I_+}{3}$$

根据管子的平均电流来选择线路中所用的管子。

管子的电流幅值:

$$I_{\text{幅SCR}} = I_{\text{m}}$$

管子的有效电流:

$$I_{\text{有效SCR}} = \sqrt{\frac{2 \cdot \left(\frac{I_{\text{m}}}{2}\right)^2 \cdot \frac{T}{6} + I_{\text{m}}^2 \cdot \frac{T}{6}}{T}} = \frac{I_{\text{m}}}{2}$$

则:

$$I_{\text{有效SCR}} = 1.5 I_{\text{有效SCR}}$$

根据管子的有效电流选快速熔断器。

3. 输出电流:

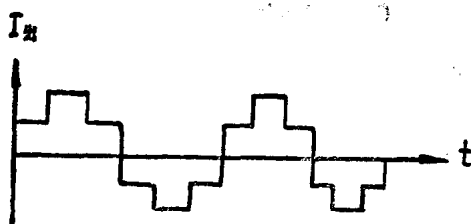


图 12 输出相电流

$$I_{\text{出有效}} = \sqrt{\frac{4 \left(\frac{I_{\text{m}}}{2}\right)^2 \cdot \frac{T}{6} + 2 \cdot I_{\text{m}}^2 \cdot \frac{T}{6}}{T}} = \frac{I_{\text{m}}}{\sqrt{2}} = \frac{3I_{\text{有效SCR}}}{\sqrt{2}} = 2.14 I_{\text{有效SCR}}$$

$$I_{\text{出幅}} = I_{\text{m}}$$

(四) 换向电抗器与换向电容器参数选择:

一般资料中所给的计算公式为:

$$C = \frac{t_{\text{反}} \cdot I_{\text{m}}}{0.425 \cdot E}$$

$$L = \frac{t_{\text{反}} \cdot E}{0.425 \cdot I_{\text{m}}}$$

式中: $t_{\text{反}}$ ——管子在换向时所加反向电压的时间。

I_{m} ——管子在关断前通过的最大电流。

E ——直流电源电压。

1. 换向电容器:

上面的计算公式只适用于小功率逆变器。而在大功率时, 用上面的公式计算出的电容量都比实际需要的小。原因是上面的公式是根据图 13 的线路推出来的 ($K=1$)。而在大功率时, 换向电抗 L 很小, 而联线及电容器均有一定杂散电感, 这些杂散电感值与换相电感值也可以相比, 且与 L 串联, 使等效的 L 更小, 则要求换向电容增大。另外电流大, 温升增高, 使管子的关断时间变长, 也要求换向电容 C 更大。

2. 换向电抗器:

一般资料中一相中两个电抗器的耦合系数尽量作得接近于 1, 为此一般换向电抗器都装有铁芯, 并且线圈采

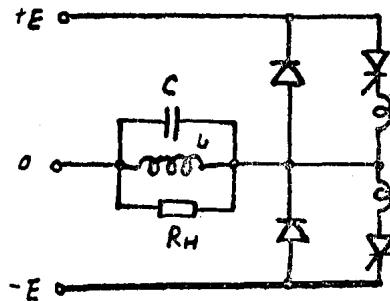


图 13 改进型并联逆变器

用交叉绕法。

根据我们实验的情况看来，电抗器的电感量当有一定数值后，对换向的影响并不大。耦合系数应做得大些，但是如果做得接近于1时，虽然对管子的关断有利，但对由关断转到导通的管子不利。因为管子刚刚导通瞬间，负载电流要立刻全部通过它。这样使得电流上升率很大，容易将管子损坏。经过实验发现，加铁芯后，耦合系数增加得并不多。为了减少电抗器的体积与重量，并便于制造，我们选用了空芯电抗器。在一个骨架上绕好线圈后，做出中心抽头，耦合系数为0.75，此时已可确保可靠换向。

3. 实验中观察到的波形，在空载时，提供反压的时间为 $200\mu s$ ，而在额定负载时，反压时间降为 $70\mu s$ 。这说明在大的输出电流时，负载已对换向电容起旁路作用。

(五) 直流电源内阻对逆变器工作的影响：

在理论上分析逆变器的工作时，一般都不考虑直流电源的影响，即认为直流电源是具有两个方向的导电性的，同时认为直流电源没有内阻。

1. 由于内阻存在，直流电源会产生过电压，而我们所用的直流电源是整流器，它只有一个方向的导电性。在感性负载时，滞后电流与整流器的导电方向相反，则无通路，为了改变这种情况，在直流电源输出端并一电容。于是在感性负载时，当电流滞后角 $\varphi > 60^\circ$ 时，滞后电流通过反馈二极管向电容器充电。由于电容器的容量不是无限大，所以电容器上的电压会升高。所需电容量的大小与以下几个方面有关：

- (1) 与电容器上电压允许升高的百分比有关；
- (2) 与最大负载电流成正比；
- (3) 与电源电压成反比，从而与输出电压成反比；
- (4) 与逆变器工作频率成反比；
- (5) 与负载的功率因素成反比。

当然此电容器对于直流电源来讲还起着滤波作用。所以在选择电容量时，还要考虑直流电压的波纹系数(参看附录1)。

2. 由于内阻存在，在换向瞬间，直流电压会产生瞬时下跌(参看附录3)。

(六) 逆变器中SCR的非正常关断及其影响：

逆变器中SCR的关断是靠在它上面加反电压来实现的。但在工作中，由于某种因素会使管子的电流小于维持电流，而使它非正常关断。

流过管子的电流应为负载电流 I_H (或负载峰值电流之半) 与流过换向电容的电流 $I_C = C \frac{dE}{dt}$ 之代数和，(E 为直流电源电压)。当流过管子的电流小于其维持电流，而其后

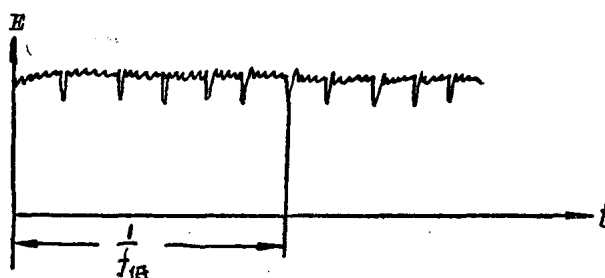


图14 直流电源电压

又无控制脉冲时，管子就会非正常关断。

直流电源为理想的直流源时，
 $\frac{dE}{dt} = 0$ 故 $I_C = 0$ 。所以，只要负载
电流大于维持电流时，管子就不会
非正常关断。本装置中直流电源是
整流器，滤波电容又不是无限大，所

以直流电压中有 50 赫的六次谐波——300 赫波纹，电源内阻不为零，使得元件在换向时，引起电源电压瞬时下跌。其波形如图 14。

300 赫波纹引起的 $I_{C_1} = C \frac{dE_1}{dt}$ 较小，而换向时电源电压瞬时下跌引起的 $I_{O_1} = C \frac{dE_2}{dt}$ 较

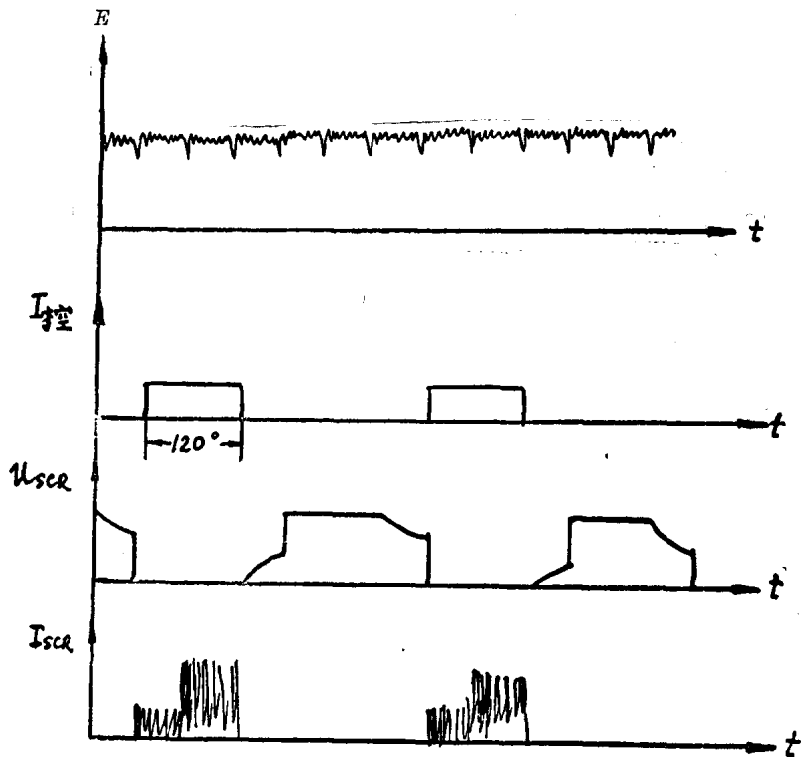


图 15 直流电源内 300 次谐波引起 SCR 的非正常关断

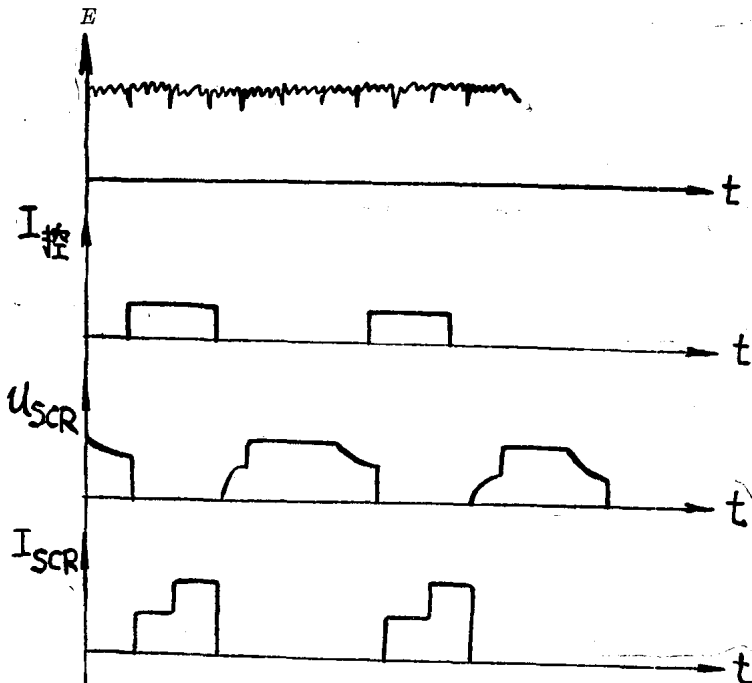


图 16 换向引起 SCR 的非正常关断

大。在小负载时,由于300赫谐波引起的SCR非正常关断会发生在控制信号结束后的一段时间里(见图15)。而电源电压瞬间下跌引起SCR非正常关断,则一定发生在逆变器中其它元件换向时(此时非正常关断的SCR上的控制信号已结束),见图16。

在SCR非正常关断后,在电阻性负载时,SCR的电压按指数规律变化,时间常数由换向电容C和负载电阻决定,变化规律如图17。

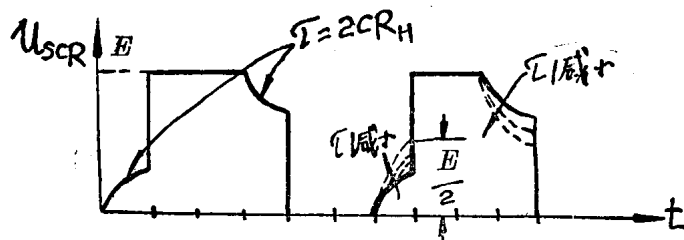


图17 电阻负载时SCR非正常关断后SCR电压的变化规律

非正常关断对于电阻性负载,只是影响输出波形,并使输出电压降低,影响不大,输出波形如图18。

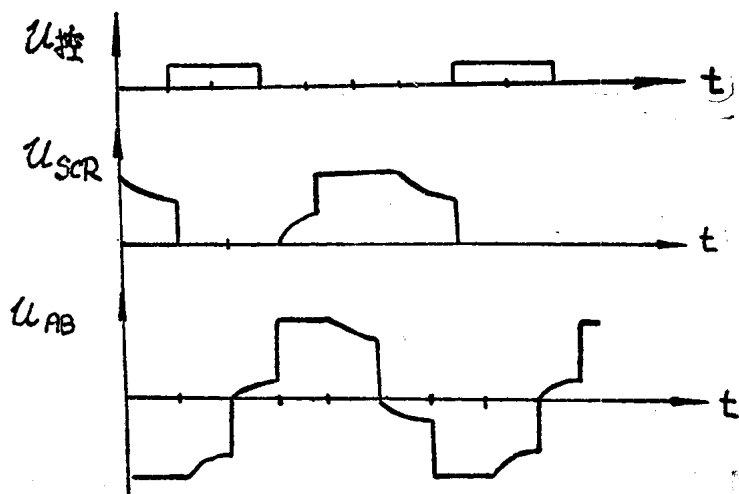


图18 电阻负载时SCR非正常关断引起的输出电压的变化

在纯感负载下,不发生非正常关断时,以触发 SCR_1 时为零点。 $0^\circ \sim 30^\circ$: SCR_5, D_6, D_1 通; $30^\circ \sim 60^\circ$: SCR_6, SCR_6, D_1 通(参看图3)。在 $0^\circ \sim 30^\circ$ 中, A, B 二相负载中将储存于其中的能量反馈给直流电源, C 相从中吸取能量, A, B 二相反馈的能量大于 C 相从电源吸取的能量。当滤波电容的容量不大时,直流将产生过电压。在发生非正常关断时,触发 SCR_1 后, SCR_5 可能非正常关断。这样 D_5, D_6, D_1 通。 A, B, C 三相负载同时向电源反馈能量。显然此时直流侧的过电压要比无非正常关断时为大。如负载为线性电感,过电压还不十分严重,而且过电压的出现是有规律的。如负载为非线性电感,当它工作在接近饱和状态时,电源电压要影响电感量与电感中的电流。由于逆变器工作时,直流电压不是恒定的。这使SCR的非正常关断亦不稳定。在实验时观察到在某一频率下,过电压的出现是无规则的,其波形如图19。

在设计过程中,应设法避免这种现象。否则可能引起SCR的正向转折或损坏。

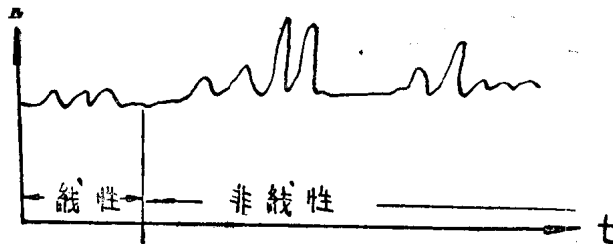


图 19 非线性电感工作于近饱和状态时的过电压

当电压更高时，非线性电感完全饱和。此时直流电源的过电压和一般线性电感完全一样。

(七) 逆变器过压, 过流及短路保护:

1. 过压保护:

由于矿井电网的负荷变化很大，因此电压波动亦很大。当负荷小时，电压会增到很高，这对逆变器中的管子威胁很大，为了避免过电压，在系统中装有过电压继电器进行过压保护。

2. 过流保护:

用空气断路器，将空气断路器的电流整定在某一值，在过流时，空气断路器自动跳闸。

3. 短路保护:

由于直流电源一直以正向加到逆变器的管子上，只要有一定的正信号加到控制极上，管子就会导通。因此逆变器在外来信号干扰下，很容易短路。因此短路保护是十分必要的。

我们采用快速熔断器对管子进行保护。一般快速熔断器的分断能力都是按照 50 赫正弦信号来计算的。而变频装置用于低频。因此只能通过实验来选择快速熔断器。通过反复实验，我们认为对于 150 A SCR，选用 200 A 熔断器比较保守，而用 350 A 又较冒进。但在有空气断路器时，适当整定它的电流，亦可保护好 SCR。

(八) 逆变器对控制脉冲宽度的要求:

一般桥式电路，因每隔 60° 便有一臂管子由导通变为关断，并有另一臂管子由关断进入导通。为了保证应继续导通的管子不因此而关断，所以控制脉冲的宽度应大于 60°。

但因逆变器工作在感性负载时，电流最多会滞后 90°，因此实际上控制脉冲宽度应大于 90°。

四、逆变器计算

(一) 电压补偿系数:

卷扬机所用异步电机在启动和提升过程中，要保持恒转矩。根据异步电机调速原理，为了保持恒转矩，所需加至定子的电压，应与其频率成正比。

我们所用高压电机在 50 赫时，电压为 6000 V。这种计算下来，在输出电压 720 V 时，电机可工作在以下频率 f :

$$\frac{50 \text{ 赫}}{6000 \text{ V}} = \frac{f}{720 \text{ V}}$$

$$f = 6 \text{ 赫}$$

而实际提升时，卷扬机只能在 2.9 赫时，才能维持 50 赫时的转矩。

一般资料中给出，在低频下应引入电压补偿系数。根据我们实验得出的电压补偿系数

应为：

$$K_V = \frac{6 \text{ 赫}}{2.9 \text{ 赫}} = 2.07。$$

这是因为在低频时，电机的感抗已比铜阻小，这样在低频时，所加电压已不能成比例下降。所以在低频时，电压补偿系数就应较大了。

(二) 本装置容量：

1. 额定负载时：

输出电流： $I_B = 30 \text{ A}$

在纯阻负载时，直流电源电流：

$$I_a = \sqrt{2} \cdot I_B = \sqrt{2} \cdot 30 = 42.3 \text{ A}$$

管子的平均电流：

$$I_{\text{平均SCR}} = \frac{42.3}{3} = 14.1 \text{ A}$$

输出线电压：

$$U_B = 720 \text{ V}。$$

额定输出功率：

$$P_B = \sqrt{3} \cdot 720 \text{ V} \cdot 30 \text{ A} = 37.5 \text{ KVA}$$

2. 启动时：

输出电流： $I_B = 80 \text{ A}$

此时直流电源电流： $I_a = \sqrt{2} \cdot 80 \text{ A} = 113 \text{ A}$

管子平均电流： $I_{\text{平均SCR}} = \frac{113}{3} = 37.7 \text{ A}$

启动输出功率： $P_B = \sqrt{3} \cdot 720 \text{ V} \cdot 80 \text{ A} = 100 \text{ KVA}$

3. 我们实验所作到的最大电流(换向电容为 $600 \mu\text{f}$)，由于实验条件的限制，我们作到如下功率：

(1) 我们作到的最大电流：

$$I_B = 378 \text{ A}$$

此时

$$U_B = 240 \text{ V}$$

$$P = \sqrt{3} \cdot 240 \text{ V} \cdot 378 \text{ A} = 150 \text{ KVA}$$

(2) 我们作到的最大电压：

$$U_B = 740 \text{ V}$$

此时

$$I_B = 140 \text{ A}$$

$$P = \sqrt{3} \cdot 740 \text{ V} \cdot 140 \text{ A} = 180 \text{ KVA}$$

4. 本装置可输出的最大功率：

$$U_B = 780 \text{ V}$$

我们所用 SCR 为 150 A ，此时的等效电流为：

$$I_{\text{等效}} = \frac{3I_{\text{平均SCR}}}{\sqrt{2}} = \frac{3 \cdot 150}{1.41} = 320 \text{ A}$$

$$P_B = \sqrt{3} \cdot 780 \text{ V} \cdot 320 \text{ A} = 430 \text{ KVA}$$

(三) 换向电容:

加反压时间: $t_{反} = 100 \mu s$

电机启动时逆变器输出电流: $I_{出大} = 80 A$

直流电源电压: $E = 1100 V$

$$C = \frac{t_{反} \cdot I_{出大}}{0.425 E} = \frac{100 \cdot 10^{-6} \cdot 80}{0.425 \cdot 1100} = 17 \mu F$$

实际换向电容取 $30 \mu F$ 。

(四) 换向电抗器:

根据实验取

$$L_1 = L_2 = 60 \mu H$$

$$L_1 + L_2 + 2M = 210 \mu H$$

则 $M = \frac{L - (L_1 + L_2)}{2} = \frac{210 - 2 \cdot 60}{2} = 45 \mu H$

则电抗器耦合系数

$$K = \frac{M}{L_1} = \frac{45}{60} = 0.75$$

(五) 直流电源滤波电容:

在直流电压过电压为 20% 时, 滤波电容为 $800 \mu F$ 。

五、实 验 情 况

(一) 现场实际提升情况:

1. 逆变频器工作频率 $f = 2.9$ 赫。

2. 卷扬机提升速度:

根据提煤量的不同, 提升速度 $v = 2.6$ 米/秒 ~ 3.2 米/秒。

3. 输出电压: 线电压 $U_{出} = 720 V$ 。

4. 输出电流:

正常时: $I_{出} = 30 A$

电机启动时: $I_{出大} = 80 A$

(二) 实验中出现的问题及克服办法:

1. 干扰是实验中最大的问题:

实验中经常是因干扰使得逆变器颠覆, 例如: 在变频器附近合接触器时, 会使逆变器颠覆, 起初, 我们在接触器线圈并电容器, 会消除干扰的影响。但是在现场接触器很多, 并电容很不方便。因干扰主要是从控制回路进入的, 为了消除外来干扰对控制回路的影响。在控制回路中加入了负脉冲, 因此在外来干扰信号不太大时, 不会使可控元件误动作。最后发现干扰主要是从控制回路虚焊处进入的, 后把控制回路重新焊好, 彻底消除了虚焊, 从而彻底消除了干扰的影响, 另外控制回路中晶体管不是工作在开关状态时, 其温升增高, 也会引起误动作。

2. 控制回路的耐压问题:

因逆变器工作在 $1100 V$ 直流电压下, 而控制回路要接于主回路, 这样控制回路的耐压是很重要的。在实验中当直流电压接近 $1000 V$ 时, 控制回路工作不正常。控制回路的输出变压器开始漏电, 使控制回路工作不稳定, 最后, 输出的二极管被击穿。以后加强了控制回

路输出变压器的绝缘，并浸漆，使其耐压在 3KV 以上。以后便没有出现问题。

3. 逆变器工作电压比较高，为此每个桥臂串联三个管子。为了均压，管子旁并了均压电阻。

实验中有两个管子被击穿，我们发现，被击穿的管子都是控制电流比较大的。这是因为控制脉冲前沿不为零，因此控制电流小的管子先导通，直流电压全部加到控制电流大的管子上，而使它损坏。为了避免这种情况，一个臂上串联的管子，应具有大约相同的控制电流。

4. 根据卷扬机的速度可知，在运转过程中，电机达到最大速度后，断电自由滑行，转速慢慢低下来，然后进入爬行阶段。此时电机由本变频器供电。当电机转速还高于低频同步速度时，将本变频器投入系统。电机将工作在发电机状态。由于变频中整流器后面的滤波电容不够大，而使直流电压增高，如果电压升得很高，会使整流元件及可控元件被击穿。为此在系统中应装有速度继电器，以保证电机在一定速度下，投入本变频器。

5. 目前本变频器输出电压 720V，频率 2.9 赫，此时，提升速度为 2.6 米/秒~3.2 米/秒。根据实际提升要求，速度最好还要提高，这就要求再提高直流电压，同时增加串联管子数目。目前因受元件水平的限制，电压尚不能提高。

6. 本装置的过压及短路保护还不够完善。如逆变器中，当一个硅可控整流元件损坏后，如何使事故不继续扩大到其它元件的保护方法等，还尚需今后研究解决。

控制回路

此控制回路适用于触发具有直流环节的三相逆变器。为了使该电路应用范围不仅局限于提升机低频爬行，还能应用到别的工业领域中，我们对频率范围，脉冲宽度，主回路可控元件的串并联应用情况做了考虑。为了适应各种负载，输出控制脉冲的宽度在整个频率调节范围内，均保持 $\frac{T}{3}$ (120°)。

一、控制回路工作原理：

控制回路的方框图(图 20)如下：

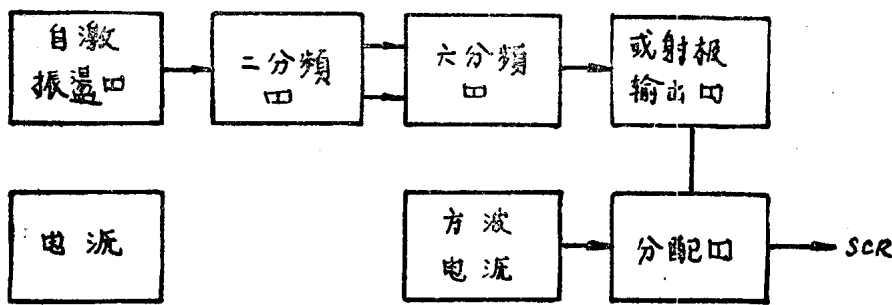


图 20 控制回路方框图

方框图共由自激振荡，二分频器，六分频器，或射极输出器，方波电源，分配器，负压部分和直流稳压电源组成。自激振荡器输出脉冲的频率为分配器输出脉冲频率的六倍。分配器共输出六组脉冲。此六组脉冲之间相互间隔 60° ，用来触发三相桥式逆变器主回路上六个